

## تحليل المنحني الضوئي للأقدار المرئية المطلقة لمستعرة عظمى من النوع الثاني (SN II)

آراء مبدر حولي \*

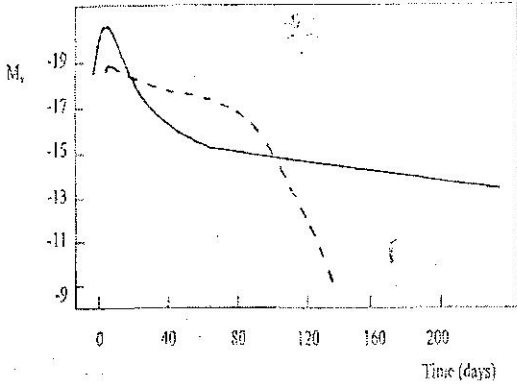
تاريخ قبول النشر 2006/6/12

### الخلاصة:

تم تحليل المنحني الضوئي للأقدار المرئية المطلقة ( $M_V$ ) لمستعرة من النوع الثاني والمعروفة بالمستعرة العظمى 1987A (SN 1987A) باستخدام العلاقات الرياضية المشتقة لذلك، والتي أعطتنا نتائج اقرب للنتائج الطيفية المرصودة للمستعرة العظمى (SN 1987A)

### المقدمة:-

كهرومغناطيسية بأطوال موجية مختلفة وأشعة كونية، وبالإضافة إلى طاقة انحلال النشاط الإشعاعي لكل من النيكل والكوبالت ( $^{56}\text{Co}$ ,  $^{56}\text{Ni}$ ) والتي امتزجت اقترحت بالمادة المقذوفة بتأثير انتقال الصدمة داخل النجم<sup>(2)</sup>.



الشكل (1) يوضح شكل المنحنيات الضوئية للنوع الأول (SN I) (نقطه متصل) والنوع الثاني (نقطه منقط) وفتره زمن بين الفتره الزمني والزمن<sup>(1)</sup>

### النظرية:

تضمنت الدراسات التحليلية إدخال تأثيرات النورانية البولومترية ودرجات الحرارة العالية وإنصاف الأقطار الابتدائية للكرة الضوئية للنجم المنفجر المولد للمستعرة العظمى من خلال إجراء بعض الافتراضات الفيزيائية ووضعها في صياغة رياضية لحساب الأقدار الضوئية المطلقة للمستعرات العظمى في مناطق الإشعاع المرئية والزرقاء وفوق البنفسجية (UBV)<sup>(3)</sup>.

وتثبت صحة هذه الدراسات من خلال تحقق الافتراضات ومدى قبولها فيزيائياً، وتختلف هذه الافتراضات لكامل مسر

تنصف نورانية المستعرات العظمى بشدة تألق عالية تجعلها متميزة خلال عدة شهور، وفي هذه الفترة نفسها يتم الحصول على المنحني الضوئي وعلى الصور الطيفية للنجم المنفجر كمستعرة عظمى. حيث يزداد اللمعان أثناء الانفجار ازدياداً سريعاً جداً يصل النهاية العظمى خلال بضعة أيام يعقبه هبوط بطيء نسبياً. ففي النوع الأول (SN I) ينخفض اللمعان بدون تذبذب ويستغرق ذلك مدة طويلة نسبياً، فبعد سنة من الانفجار ينخفض اللمعان بضع مئات من المرات، وتتشابه إلى درجة كبيرة منحنيات التألق لنجوم هذا النوع كافة، بينما يتميز النوع الثاني (SN II) بالتباين الكبير في منحنيات تألقه، وسرعة هبوط اللمعان بعد مائة يوم تقريباً من النهاية العظمى له. يوضح الشكل (1) المنحنيات الضوئية لكلا النوعين<sup>(1)</sup>.

أن وصول النجم المولد للمستعرة العظمى لمرحلة تطوره النووي النهائية يقترن باضطراب شديد في حالته الغازية الذي ينتقل على شكل موجة قوية تدعى موجة الصدمة (Shock Wave) التي يرتبط ظهورها بالانضغاط الفجائي الشديد الذي تعانيه الطبقة الغازية المجاورة لموقع الانفجار. أن عملية تولد الصدمة عملية معقدة جداً تحدث نتيجة تقلص فجائي يحدث تنجم ويحول جزء من طاقته الكامنة إلى طاقة حرارية و إشعاعية، تنتقل الطاقة من باطن النجم إلى الطبقات الخارجية بواسطة هذه الموجة، وتحت تأثيرها تتمزق الطبقات الخارجية للنجم مكونة غلاف يأخذ بالتوسع والانتشار. محمراً طاقة إشعاعية يمكن تعيينها بواسطة منحني تنطق، وكذلك الأشعة الضوئية التي يخرجها النجم أثناء الانفجار كطاقة

\* قسم الفيزياء/كلية التربية للبنات/جامعة الكوفة

$h, c, k$ : ثابت بولتزمان وسرعة الضوء وثابت بلانك على التوالي.

$\lambda_e$ : الطول الموجي الفعال (Effective Wave Length) للمناطق المرصودة (UBV) (6) المبينة في الجدول (1).

جدول (1) يوضح الثوابت المذكورة في المعادلة رقم (2) للمناطق المرصودة (UBV) (6)

Constants	U pass band	B pass band	V pass band
$C_\lambda$	-2.234	-0.603	-0.055
$g_\lambda$	4.348	4.348	2.838
$\lambda_e(A^\circ)$	3590	4425	5500
$\beta_\lambda$	$2.18 \times 10^{-18}$	$4.89 \times 10^{-19}$	$2.83 \times 10^{-19}$
$\lambda_{cal}(A^\circ)$	3598	4440	5522
$\eta_\lambda$	4.00	3.24	2.61

(2) - طريقة معايرة الفيض (Flux Calibration Method) والتي وضعت على أساس العلاقة التي تربط بين الفيض المقاس على الأرض والأقدار الظاهرية (Apparent Magnitudes) من قبل العالمان (Matthews and Sandage 1963) وبالاعتماد على نوع المنطقة المرصودة (UBV) :-

$$M_\lambda = A_\lambda - 2.5 \log[(\beta_\lambda L_{bol} T_e^{-4}) / (\exp(\eta_\lambda / T_{e,4}) - 1)] \quad (3)$$

تمثل كل من :-

$A_\lambda$ : ثابت يمثل مقدار الامتصاص في قيم الأقدار المطلقة والذي تم اعتباره مساوي للصفر كافة المناطق (3).

$\beta_\lambda$ : ثابت ذو قيمة تعتمد على نوع المنطقة المرصودة (UBV)، الجدول رقم (1).

$L_{bol}$ : النورانية البولومترية (Bolometric Luminosity) للنجم المنفجر كمستعرة عظمى والمقاسة بوحدات (erg/sec).

$\eta_\lambda$ : ثابت ذو قيمة تحسب من المعادلة  $hc/\lambda_{cal} K$  ويعرف ( $\lambda_{cal}$ ) بالطول الموجي لمناطق (UBV) المعير مع الفيض المقاس على الأرض وهو ذو قيمة ( $5522 A^\circ$ ) لمنطقة الشعاع المرئية (V).

(3) - الطريقة الثالثة عرفت باسم المعايرة الشمسية (Sun Calibration) على اعتبار أن الشمس نجم ثابت يتم به معايرة النجم المولد للمستعرة العظمى (6)، أن مقياس الأقدار المطلقة المرئية ( $M_V$ ) للنجوم من الارصادات الفوتومترية باستخدام مرشح (Filter) في المنطقة المرئية (Visual Band) يحسب من العلاقة :-

(Arnett and Fulk 1977) بان النجم المولد والمنفجر كمستعرة عظمى يكون في طور العملاقة العظمى الحمراء (Red Super Giant) والذي من خصائصه قذف كميات كبيرة من مادة غلافه الخارجي والتي تقدر ب-5 ( $M_{env} = 5 M_\odot$ ) عند هذا الطور (4).

وعند اختلال التوازن الترموديناميكي للنجم المولد للمستعرة العظمى تسيطر قوة الجاذبية المتجهة نحو المركز وتكون نتيجة لذلك كرة ضوئية (Photosphere) من النويات المضاءة في درجات الحرارة العالية وبكتلة قلب حديدي والتي عند ينهار النجم بصورة فجائية للداخل وان الارتطام المتصادم بين مادة القلب الداخلية المتوازنة والاعلفة الخارجية يولد صدمة ضاغطة (صدمة الموجة) والتي تعمل على عكس الاعلفة الخارجية وقذفها للخارج بسرعة افتراضها كل من (AF 76) بمعدل [(300-10000)km/sec] (5)

استنادا لهذا الافتراض تم وضع صيغ رياضية لحساب الأقدار الضوئية المطلقة  $M_\lambda$  في مناطق الإشعاع (UBV) (6) وكما يلي :-

(1) - اشتق العالم (Arp 1961) صيغة رياضية عرفت باسمه (Formula) على أساس أن النجوم المولدة والمنفجرة كمستعرات عظمى هي أجسام سوداء (Black Bodies) (7) :-

$$M_\lambda = C_\lambda + (g_\lambda / T_{e,4}) - 5 \log(R_{ph} / R_\odot) + X_\lambda(T_e) \dots (1)$$

إذ تمثل كل من :-

$C_\lambda, g_\lambda$ : ثوابت تعتمد على نوع المنطقة المرصودة (UBV)، والتي تم الحصول عليها بالمعايرة مع القيم الشمسية وهي مبينة في الجدول رقم (1).

$T_{e,4}$ : درجات الحرارة الفعالة (Effective Temperature)، المقاسة بوحدات ( $T_{e,4} = T_e / 10^4 K$ ).

$R_\odot$ : نصف قطر الشمس ( $10 \times 10^{10} cm$ ).

$R_{ph}$ : نصف قطر الكرة الضوئية (Radius Photosphere) للنجم المنفجر كمستعرة عظمى المقاس بوحدات (cm).

$X_\lambda(T_e)$ : حد التصحيح (correction term) والذي تزايد أهميته في درجات الحرارة العالية ويعطى بالعلاقة (3) :-

$$X_\lambda(T_e) = 2.5 \log [1 - \exp(-h c / k T_e)] \dots (2)$$

حيث تمثل كل من :-

تم اعداد برنامج حاسوبي لحساب الاقدار الضوئية استنادا على المعادلات (1,3,6) المطلقة في المنطقة المرئية ( $M_v$ )، تم تحليل المنحنيات المرصودة للمستعرة العظمى (1987A) من المراصد العالمية (Cerro Tololo Inter-American Observatory) والتي أكدت بان النجم المولد لها عملاق عظيم احمر وتبلغ سرعة مقذوفاته بحدود ( $3.7 \times 10^8$  cm/sec) وهذا يتفق مع الافتراضات الفيزيائية لكل من [FA77] وذلك من خلال المنحنيات التي تناولت التغيير الزمني لدرجات الحرارة المطلقة للنجم المنفجر شكل (3)، وأيضا التغيير الزمني لإنصاف أقطار النجم المولد للمستعرة العظمى شكل (4) وكذلك التغيير الزمني للنورانية البولومترية الشكل (5) حيث أكد المنحني الضوئي بان المستعرة العظمى من النوع الثاني (SNII) وبين أيضا انخفاض سريع في النورانية للنجم بعد (70 days) من الانفجار، تمثل هذه الفترة الزمنية مرحلة انهيار النجم، وعند وصول موجة الصدمة (Shock Wave) إلى سطحه تزداد قيمة الأقدار وتصل أقصى قيمة لها في اليوم التسعون بعد ذلك تأخذ بالتناقص وعند الفترة [120-177] days تظهر على المنحني بؤادر انحلال أسّي بمقدار  $[0.01 \pm 0.002]$  قدر ضوئي في اليوم الواحد (10).

$$M_v = M_{bol} - 2.5 \log(f_v) + K_s \dots \dots \dots (4)$$

حيث أن:

$K_s$ : ثابت امكن الحصول على قيمته من خلال المعايرة مع الثوابت الشمسية والتي هي: القدر المرئي المطلق ( $M_v = 4.84^m$ )، القدر البولومتري ( $M_{bol} = 4.72^m$ )، فيض الجسم الأسود (الشمس) في المنطقة المرئية ( $f_v = 3.702 \times 10^{-3}$ ). ويتعويض هذه القيم في المعادلة (4) نحصل على قيمة الثابت ( $K_s = -5.96$ ).  
أن مقياس الأقدار البولومترية يحسب من العلاقة (9) :-

$$M_{bol} = -2.5 \log(L_{bol}) + 88.7 \dots \dots \dots (5)$$

وتمثل ( $L_{bol}$ ): النورانية البولومترية للنجم المنفجر كمستعرة عظمى. وبذلك فان الأقدار المطلقة المرئية للمستعرات العظمى وفق طريقة المعايرة الشمسية تحسب من خلال العلاقة :-

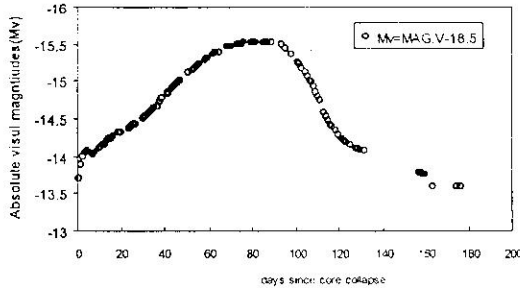
$$M_v = -2.5 \log(L_{bol}) - 2.5 \log(f_v) + 82.74 \dots \dots (6)$$

### النتائج والمناقشة:

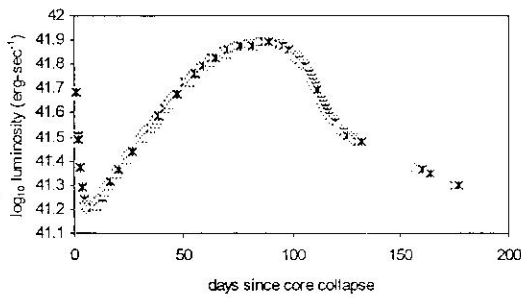
أن الأقدار الظاهرية لا تعطي نتيجة صحيحة عن اللعان الحقيقي للنجوم والسبب في ذلك يعود بشكل رئيسي الى بعد النجوم عن الأرض، فإذا أردنا دراسة الخصائص الذاتية للنجوم (المطلقة) فلا بد في هذه الحالة من تحويل شدة اللعان الظاهرية إلى مطلقة والتي هي الطاقة المنبعثة من النجم خلال وحدة الزمن، ومن اجل ذلك يجب معرفة بعد النجم أولا.

ان الفرق بين الأقدار الظاهرية والأقدار المطلقة وتذي تكون قيمته ثابتة ويسمى بمعامل المسافة (Distance Modulus) وبما أن معامل المسافة للنجم مسمى (Sandluk-69<sup>0</sup>202) المنفجر كمستعرة عظمى (SN1987A) مقرب (18.5 Mpc) والنقار الضوئية الظاهرية ( $m_v$ ) للمستعرة العظمى لحظة الانفجار التي وفرتها الارصادات الفوتومترية من قبل جميع المراصد تعتمية نتي سجت نحدث لحظة وقوعه أمكننا حسب تقدير تعطفة من العلاقة ( $M_v = m_v -$ ) 18.5 ونوضحة في شكل (2) (10).

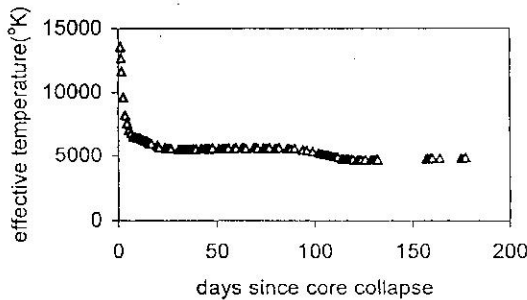
وبين الشكل (6) مقارنة بين المنحني الضوئي المرصود والمنحني الضوئي النظري المحسوب باستخدام صيغة (Arp61) والذي يعتمد على تأثير كل من درجات الحرارة الفعالة ( $T_{eff}$ ) المقاسة بوحدات الكلفن ( $k$ ) وتعرف هذه الدرجة بأنها نفس درجة حرارة الجسم الأسود الذي يبعث نفس المعدل من الطاقة خلال وحدة المساحة والمقياس اللوغارثمي لإنصاف أقطار (الكرة الضوئية) ( $R_{ph}$ ) المقاسة بوحدات (cm) للنجم المولد للنجم المولد للمستعرة العظمى إثناء الانفجار ومدى تأثير أنصاف الأقطار هذه على قيم التغيير بدرجات الحرارة الفعالة، وذلك لأن التزايد في قيم ( $R_{ph}$ ) يرافقه نقصان في ( $T_{eff}$ ) وهذا ما وضحه المنحني، حيث إن التزايد في قيم ( $R_{ph}$ ) يؤدي إلى نقصان في الضغط الإشعاعي المولد لموجة الصدمة (Shock Wave) والتي بدورها تزيد من سرعة الكتل المقذوفة نتيجة الانفجار والانخفاض في درجات حرارتها الفعالة كذلك نلاحظ حصول تسطح (plateau) في المنحني الضوئي كلما كبر نصف القطر وهي مرحلة الاستقرار النسبي في النورانية وبذلك يمكن



شكل (2) التغير الزمني للأقدار المرئية المطلقة للنجم المولد ل (1987A) منذ بداية انهياره إلى لحظة الانفجار وفقاً لارصادات مرصد (CTI-O)<sup>(10)</sup>.



شكل (3) تغير السلوك الزمني للمقياس اللوغارتمي للنورانية البولومترية بوحدات (erg sec<sup>-1</sup>) للنجم المولد ل (1987A) منذ بداية انهياره إلى لحظة الانفجار وفقاً لارصادات مرصد (CTI-O)<sup>(10)</sup>.



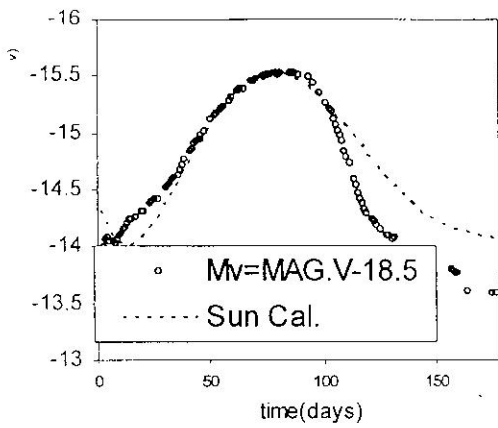
شكل (4) تغير السلوك الزمني لدرجات الحرارة المؤثرة (T<sub>eff</sub>) منذ بداية انهيار قلب النجم المولد ل (1987A) وفقاً لارصادات (CTI-O)<sup>(10)</sup>.

اعتبار الانفجار الذي يعانيه النجم المولد للمستعرة العظمى هو دالة لتصرف القطر قبل الانفجار، أي أن (Arp) ادخل التأثير المزدوج لكل من درجات الحرارة الفعالة وأنصاف أقطاراً لنجم المولد على الأقدار الضوئية ككل بكافة مناطقها على أساس أن النجوم المولدة والمنفجرة كمستعرات عظمى هي أجسام سوداء إذ بين الشكل (6) تشابه في السلوك لكلا المنحنين النظري والمرصود.

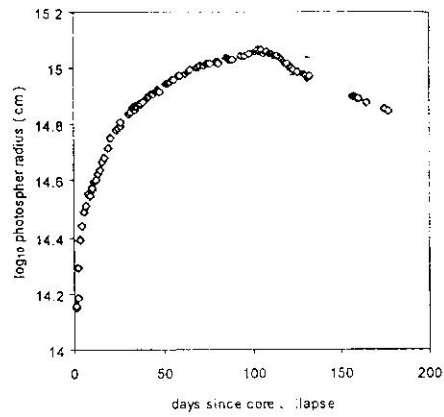
نلاحظ في الشكل (7) مقارنة بين المنحني الضوئي (FMC) للأقدار المرئية المطلقة الذي تم حسابه من علاقة معايرة الفيض (Flux Cal.) حيث نرى تشابه واضح في التعرف بين المنحني الضوئي المحسوب مع المرصود بأنه يشابه المنحني الضوئي المرصود من حيث السلوك، وأنه اعتمد في حسابه على المقياس اللوغارتمي للنورانية البولومترية و درجات الحرارة الفعالة في حساب الأقدار المرئية المطلقة المتغيرة مع الزمن خلال فترة محددة من الانفجار وبذلك قد ادخل تأثير كل من النورانية ودرجات الحرارة في حساب الأقدار.

يوضح الشكل (8) المنحني الضوئي المحسوب من طريقة المعايرة مع الشمس (Sun Cal.) والذي يظهر تقارباً كبيراً في القيم وتشابه كبير السلوك مع المنحني الضوئي المرصود مع المحسوب نظرياً، حيث تقارباً كبيراً لأنه اعتمد فقط في حساب الأقدار الضوئية المطلقة على المقياس اللوغارتمي للنورانية البولومترية والتي تمثل مقدار الطاقة الإشعاعية الحرارية الكلية (كافة الأشعة الكهرومغناطيسية) المنبعثة من النجم المنفجر خلال وحدة الزمن أي أن الأقدار المطلقة لها علاقة مباشرة بالنورانية.

وأخيراً، قد توصلنا من خلال بحثنا من إن كافة المنحنيات الضوئية المرصودة والمحسوبة عانت سلوكاً متشابهاً وهو انخفاضاً في الأقدار كلما زاد الزمن وهذا ما يؤكد بان المادة المقذوفة أثناء الانفجار قد امتزجت بنوويات نشطة إشعاعياً، فعند انتقال موجة الصدمة من مركز النجم المنفجر إلى السطح فأنها سرعان ما تعاني انحلال إشعاعياً (Radioactivity) وهذا كان دليلاً مباشراً على حدوث عمليات التركيب النووي داخل النجم قبل إن يعاني النجم انفجاراً كمستعرة عظمى.



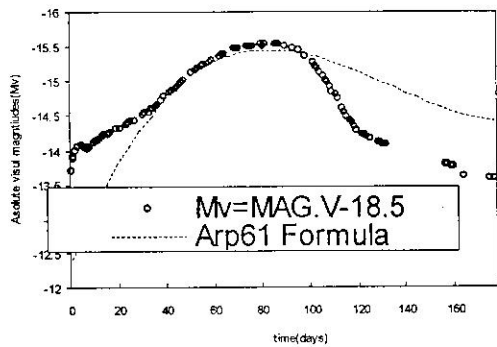
شكل (8) مقارنة بين المنحني المرصود (الدوائر الفارغة) والمنحني النظري المحسوب حسب صيغة (Sun cal.) (الخط المنقط).



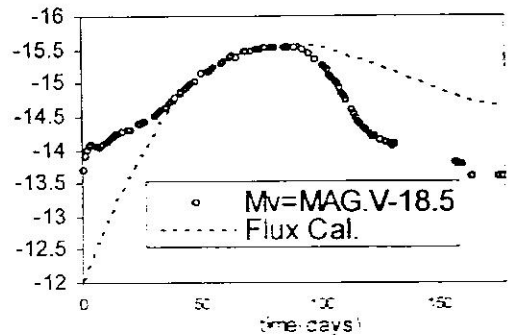
شكل (5) تغير السلوك الزمني للمقياس اللوغارتمي لاتصاف اقطار الكرة الضوئية للنجم المولد (1987A) منذ بداية انهياره الى لحظة الانفجار وفقا لارصادات مرصد (CTI-O)<sup>(10)</sup>.

المصادر :-

- 1- Henny, J.G., 1983, "Supernovae and Supernovae Remnants" in Diffuse Matter in Galaxies, D.Reidel publishing company, Dordercht-Holland, P.45,
- 2- Arentt, W.D., 1980, "Analytic solution for light curves of supernovae of type II", Astrophys.J, 237:541.
- 3- Arentt, W.D., 1982, "Type I supernovae. I. analytic solutions for the early part of the light curve", Astrophys.J. 253:785.
- 4- Fulk, S.W., W.D:Arentt, 1977, "Radiation dynamics, envelope ejection, and supernova light curves", Astrophys.J.Suppl, 33:4.
- 5- Arentt, W.D., S.W.Fulk, 1976, "Some comparisons of theoretical light curves with supernova 1969I (Type II) in NGC 1058", Astrophys.J, 210:733.



شكل (6) مقارنة بين المنحني المرصود (الدوائر الفارغة) والمنحني النظري المحسوب حسب صيغة (Arp61) (الخط المنقط).



شكل (7) مقارنة بين المنحني المرصود (الدوائر الفارغة) والمنحني النظري المحسوب حسب صيغة (Flux Cal.) (الخط المنقط).

- visual apparent magnitudes",  
Astrophys.J, 138:30.
- 9- Clayton, D., 1966, "Principles of Stellar Evolution and Nucleosynthesis", (New York: McGraw-Hill), P.10.
- 10- Hamuy, M., N.B.Suntzeff, R.Gonzalez and G.Martin, 1988,"SN 1987A in the LMC: UBVRI photometry at Cerro Tololo", Astrophys.J, 95: 63.
- 6- Schulman, S.R., W.D.Arentt, S.W.Fulk, -1979,"Type II supernovae: nonstandard as extragalactic distance indicators", Astrophys.J, 230: 815.
- 7- Arp H.C., 1961,"Theoretical model for type II supernovae", Astrophys.J, 113:874.
- 8- Matthews, T.A., A.R.Sandage, 1963,"Flux calibration method of

## Analytic For Light Curve Of Absolute Visual Magnitude For (SN II)

Araa M.Holi \*

\* Dep. Physics/College of Education for Women /Kufa University

### Abstract:

The light curve for absolute visual magnitude which is know by (SUPERNOVA 1987A) has been analyses by using; the mathematic relationships driven forit, and obtained results showed how they are in good agreement with the observed for this supernova.